

Bi-Sr-Ca-Cu-O 계에서 초전도상 형성에 미치는 도우핑 원소의 영향

Influence of Doping Elements on the Formation of Superconducting Phase in the Bi-Sr-Ca-Cu-O System

양승호, 정진인, 박용필

Seong-Ho Yang, Jin-In Jung, and Yong-Pil Park

동신대학교 전기전자공학과

Abstract

We investigated the effects of doping elements on the Bi-Sr-Ca-Cu-O ceramics. The doping elements can be classified into four groups depending on their superconducting characteristics in the Bi-Sr-Ca-Cu-O structure.

The first group of doping elements(Co, Fe, Ni and Zn) substitute into the copper site and can reduce the critical temperatures of the 2223 and 2212 phases. The second group of doping elements(Y and La) substitute into the Ca site and cause the disappearance of the 2223 phase and increase the critical temperatures in the 2212 phase.

Key Words : doping element, Bi-Sr-Ca-Cu-O ceramics, superconducting characteristics

1. 서 론

1986년 La 계 산화물로부터 임계온도 30K급의 초전도체가 합성된 이후[1] 보다 높은 임계온도를 갖는 산화물 고온 초전도체를 개발하기 위해 많은 연구가 이루어져 Y 계[2], Bi 계[3], Tl 계[4] 및 Hg 계[5] 산화물에서 액체 질소 온도 이상의 임계점을 갖는 고온 초전도체가 합성되었다.

Bi-Sr-Ca-Cu-O 계 초전도체는 2223, 2212 및 2201의 초전도상을 포함하고 있으며, 고온상의 체적비가 높은 초전도체를 제조하기 위해서는 2223 조성보다 Ca과 Cu를 더 첨가하여 장시간 열처리하는 방법[6], 공기압보다 높은 O₂ 분압 혹은 낮은 O₂ 분압 하에서 소둔(annealing)시키는 방법[7] 및 Pb를 첨가 혹은 치환시키는 방법[8] 등이 제시된 바 있다. 본 연구팀은 Bi 계에 Pb를 도우핑함으로써 2223 상이 점유하는 체적비의 증가에 대한 연구 결과를 보고한 바 있으며[9], 이는 Bi-Sr-Ca-Cu-O 계에 새로운 원소를 도우핑함으로써 2223 및 2212

상 형성시 자유 에너지(free energy)의 변화가 가능함을 시사해주는 것으로 판단할 수 있다.

따라서 본 연구에서는 이온 반경(ionic radius), 전자 배치(electron configuration) 등을 고려하여 도우핑 원소를 선정, Bi-Sr-Ca-Cu-O 계에 적정량을 도우핑시킨 시편을 제조하여 2223 및 2212 상의 형성에 미치는 도우핑의 영향을 조사하였다.

2. 실험

본 실험에서는 표 1에 나타낸 것과 같이 이온 반경, 전자 배치 등을 고려하여 6종의 도우핑 원소를 선정하였으며, BiSrCaCu₂D_xO_y의 조성이 될 수 있도록 공기 중에서 고상 반응법(solid state reaction)으로 제조하였다. 여기서 D는 도우핑 원소의 종류, x는 0~0.2 범위의 도우핑 농도를 나타낸다. 실험에는 4N 이상의 순도를 갖는 Bi₂O₃, SrCO₃, CaCO₃, CuO 분말 및 6종의 도우핑 원소를 선택하였으며,

마노 유발을 사용, 혼합·분쇄 과정을 거쳐 820 °C의 온도로 공기 중에서 12 시간 하소시켰다. 하소분말은 재분쇄하여 3 ton/cm²의 압력을 가해 지름 10 mm, 두께 3 mm의 디스크형 펠렛으로 성형한 후 855 °C에서 12 시간 소결하였다. 소결은 공기 중에서 이루어 졌으며 소결 후 전 시편은 급냉(air quenching)시켰다.

시편의 결정상은 X선 회절패턴(x-ray diffraction pattern) 분석 및 주사전자현미경(scanning electron microscope) 사진을 통해 조사하였으며, 시편의 조성은 EDS(energy dispersive X-ray spectroscope) 빙 농도의 증가로 인해 Cu 위치에 이온 반경이 Cu로 분석하였다. 또한 임계 온도는 저항률이 급격히 감소하기 시작하는 온도 T_{cH} 및 T_{cL} 을 관측하였다.

표 1. 도우핑 원소에 따른 $\text{BiSrCaCu}_2\text{D}_{0.05}\text{O}_y$ 세라믹의 T_{cH} 및 T_{cL} 의 영향

Table 1. Effect of the doping elements on the T_{cH} and T_{cL} of $\text{BiSrCaCu}_2\text{D}_{0.05}\text{O}_y$ ceramics

DOPING ELEMENT	IONIC RADIUS (pm)	ELECTRON CONFIG.	$T_{cH}(\text{K})$	$T_{cL}(\text{K})$
Co	63(+3)	[Ar]3d ¹⁰ 4s ²	111	65
Fe	64(+3)	[Ar]3d ⁶ 4s ²	105	60
Ni	72(+2)	[Ar]3d ⁸ 4s ²	112	75
Zn	74(+2)	[Ar]3d ¹⁰ 4s ²	110	73
Y	93(+3)	[Kr]4d ¹ 5s ²	-	95
La	106(+3)	[Xe]4f ⁹ 5d ¹ 6s ²	-	87
Undoped			115	80

3. 결과 및 고찰

표 1은 소결 온도 855 °C로 공기 중에서 12 시간 소결한 $\text{BiSrCaCu}_2\text{D}_{0.1}\text{O}_y$ 세라믹의 도우핑 원소에 따른 2223 상 및 2212 상의 임계 온도 특성으로 여기서 T_{cH} 및 T_{cL} 은 각각 2223 상 및 2212 상의 전이 개시 온도를 나타낸다.

그림 1에 제 1 계열에 속하는 도우핑 원소 Co, Fe, Ni 및 Zn의 도우핑 농도 변화에 따른 전이 개시 온도의 영향을 도시하였다. 전 시편은 855 °C에서 12 시간 소결시킨 후 공기 중에서 급냉시켰다.

이 계열에 속하는 원소들은 도우핑 농도 5 mol%

에서 2212 상은 물론 2223 상의 전이 개시 온도도 함께 저하하는 경향을 보이고 있으며 Co나 Fe를 도우핑한 경우 도우핑 농도 5 mol%를 초과한 시편에서는 2223 상의 소멸을 관측할 수 있다. 도우핑 원소 및 도우핑 농도에 따라 임계 온도가 감소하는 경향과 그 폭에는 다소 차이가 있으며 Co나 Fe를 첨가한 경우 2212 상의 임계 온도 감소 폭이 Ni 및 Zn를 첨가한 경우에 비해 큰 것을 알 수 있다.

한편 도우핑 원소를 첨가하지 않은 시편에서 T_{cH} 및 T_{cL} 은 각각 115 K 및 80 K로 측정되었다.

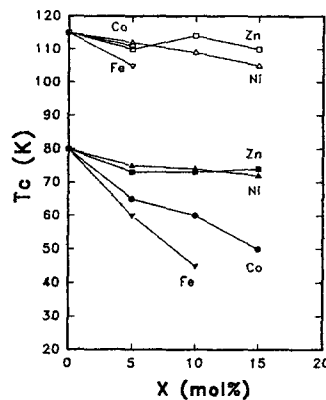


그림 1. 제 1 계열 도우핑 시편에서 임계온도의 도우핑 농도 의존성

Fig. 1. Doping concentration dependance of critical temperature for the group one doped samples

그림 2는 제 1 계열 도우핑 시편에서 도우핑 농도 변화에 따른 2212 상의 격자 상수에 미치는 도우핑 농도의 영향을 나타내고 있다. 도우핑 농도를 증가시킴에 따라 2212 상에서 a 축의 격자 상수는 증감의 변화는 있으나 소폭으로 증가하는 경향을 보이고 있다. 반면 c 축의 길이는 도우핑 농도의 증가에 따라 4 종의 도우핑 시편 모두 감소하고 있으며 Ni 및 Zn를 첨가한 경우의 작은 변화에 비해 Co나 Fe를 첨가한 경우, 농도 증가에 따른 c 축 길이의 감소는 큰 값으로 관찰된다. 이는 이온 반경이 Cu(72 pm)와 근사한 Ni(72 pm) 및 Zn(74 pm)의 경우 도우핑 농도 증가에 의해 Cu 위치로의 치환이 어려운 반면 Co(63 pm)나 Fe(64 pm)의 경우 도우

보다 짧은 소수의 이온들이 치환됨으로써 c 축 길이의 감소를 유발한 것으로 판단된다.

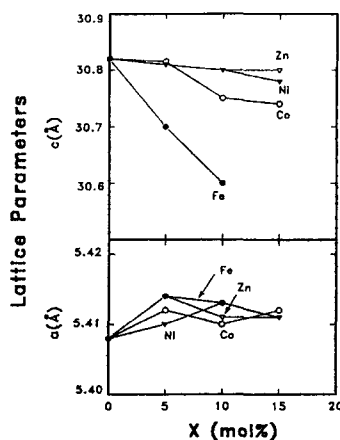


그림 2. 제 1 계열 도우핑 시편에서 격자상수의 도우핑 농도 의존성

Fig. 2. Doping concentration dependance of lattice parameters for the group one doped samples

2212상 형성시의 도우핑 농도를 밝히기 위하여 Fe를 10 mol% 도우핑한 $\text{BiSrCaCu}_2\text{Fe}_{0.1}\text{O}_y$ 시편을 EDS 분석한 결과, Fe를 도우핑한 시편에서 2212상이 형성될 수 있는 실제의 Fe 도우핑 농도는 2~3 mol%이며, Co를 도우핑할 경우 2212 상이 형성되는 실제 도우핑 농도가 3~6 mol%인 반면 Ni이나 Zn를 도우핑할 경우 도우핑 농도 1 mol% 이하에서는 2212 상이 형성되는 실제 도우핑 농도는 2212 조성보다 매우 작은 비율임을 알 수 있었다. 이는 Fe나 Co를 도우핑한 시편에 비해 Ni나 Zn를 도우핑한 시편에서 2212상의 전이 개시 온도가 작은 폭으로 변화하는 원인으로 판단된다.

그림 3은 Fe를 도우핑하여 855 °C에서 12 시간 소결한 $\text{BiSrCaCu}_2\text{Fe}_x\text{O}_y$ ($x = 0, 0.05, 0.1, 0.2$) 시편에서 저항률의 온도 의존성을 나타내고 있다. Fe 이온의 도우핑 농도에 따라 R-T 곡선은 급격한 변화를 보이는데 도우핑 농도가 5 mol% 이하인 경우 2212 및 2223 상이 공존하여 2 단계 전이 현상을 관측할 수 있다. 또한, 도우핑 농도가 5 mol%를 초과하는 경우 2223 상은 소멸되고 1 차 전이에 의해

저항률이 감소하나 0 저항은 관측되지 않는다. 도우핑 농도 10 mol%인 경우 전이 온도 직전 까지의 저항률 증가 현상은 도우핑 농도 10 mol%를 초과하면 반도체의 거동으로 전환되고 있다. Co를 도우핑한 경우에는 도우핑 농도 5 mol%를 초과하면서 2223 상의 소멸을 관측할 수 있었다.

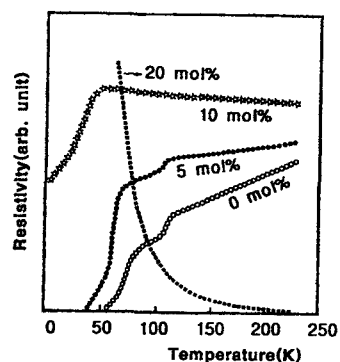


그림 3. Fe 농도에 따른 저항률의 온도 의존성

Fig. 3. Temperature dependence of the resistivity for the various Fe concentrations

Fe를 도우핑한 $\text{BiSrCaCu}_2\text{Fe}_x\text{O}_y$ ($x = 0.05, 0.1, 0.2$) 시편의 X선 회절패턴을 분석한 결과, 도우핑 농도 5 mol%인 경우 2212 상과 CuO의 낮은 피크가 관측되며 도우핑 농도가 10 mol%인 시편에서는 2212, 2201의 반도체상 및 CuO의 낮은 피크가 함께 관측된다. 또한, 도우핑 농도 20 mol%에서는 2212 상의 소멸과 함께 2201의 반도체상과 CuO 상이 주를 이루고 있음을 알 수 있다. XRD 패턴으로부터 분석되는 이러한 변화는 R-T 곡선의 변화와 일치하는 현상으로 Co를 도우핑한 시편에서도 유사하게 관측할 수 있었다.

BiSrCaCuO 계에 Fe나 Co를 도우핑시킴에 따라 원자들은 Cu 위치에 치환되어 8 면체의 배열을 이루는 것으로 사료되며 이들 원자들이 Cu 위치에 치환됨으로써 고배위수를 포함하는 결정 구조를 형성하게 되는 것으로 판단할 수 있다. 이는 R-T 특성 곡선에서도 확인할 수 있는데 Fe나 Co의 첨가에 따라 반도체의 거동을 보이며 2212 및 2223 상이 소멸되는 현상은 동일한 맥락으로 생각할 수 있다.

그림 4는 Y의 도우핑 농도를 변화시켜 855 °C에서 12 시간 소결, 제작한 $\text{BiSrCaCu}_2\text{Y}_x\text{O}_y$ ($x = 0,$

0.05, 0.1, 0.2) 시편에서 측정한 R-T 곡선이다. 도우핑 농도 5 mol% 이상인 시편에서는 $x = 0$ 인 시편에서 관측되는 2223 상에서 2212 상으로의 전이 현상은 나타나지 않으며 도우핑 농도를 증가시킴에 따라 저항률의 급격한 증가와 함께 초전도상의 전이 단계는 큰 변화를 보이고 있다. 즉, 제 2 계열에 속하는 도우핑 원소들은 도우핑에 의해 2223 상을 소멸시키며 도우핑 농도의 증가에 따라 2212 상의 전이 개시 온도를 상승시키는 현상을 보이고 있는데 Y나 La과 같은 희토류 원소들이 이 계열의 도우핑 원소로 분류된다.

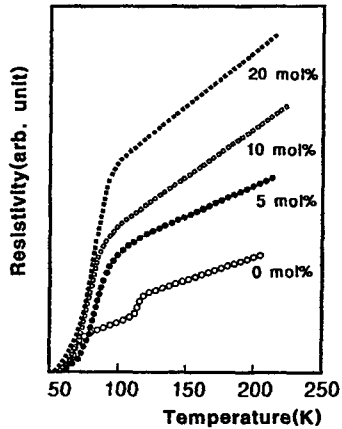


그림 4. Y 농도 변화에 따른 저항률의 온도 의존성
Fig. 4. Temperarure dependance of the resistivity for the various concentrations of Y

$\text{BiSrCaCu}_2\text{O}_y$ 계에 희토류 원소를 도우핑 함으로써 2223 상이 소멸되는 현상은 2223 상의 결정 구조에서 2 가의 Ca 위치에 3 가의 Y 원자가 치환되어 안정된 결정 구조를 형성하기 보다 2212 상의 결정 구조를 취하는 것이 훨씬 안정된 상태를 유지할 수 있음을 의미하며 Ca 위치 주변의 Cu 및 O 원자의 배열 상태는 $\text{YBa}_2\text{Cu}_3\text{O}_7$ 계에서 Y의 배열과 일치하고 있음을 확인할 수 있다.

4. 결 론

6 종의 도우핑 원소를 선정, $\text{Bi}-\text{Sr}-\text{Ca}-\text{Cu}-\text{O}$ 계에 적정량을 도우핑시킨 시편을 제조하여 초전도

특성에 미치는 도우핑의 영향을 조사한 결과, 제 1 계열의 도우핑 원소 Co, Fe, Ni 및 Zn는 Cu 위치에 치환되어 2223 및 2212 상의 임계 온도를 함께 저하시키는 경향을 나타내었다.

제 2 계열의 Y 및 La과 같은 희토류의 도우핑 원소는 Ca 위치에 치환되어 2223 상을 소멸시키며 2212 상의 임계 온도를 상승시키는 특성을 나타내었다.

참 고 문 헌

- [1] J. G. Bednorz and K. A. Müller, *Z. Phys.* B64, pp. 189-193, 1986.
- [2] M. K. Wu, J. R. Ashburn, C. J. Torng, P. H. Hor, R. J. Meng, L. Gao, Z. J. Haang, Y. Q. Wang and C. W. Chu, *Phys. Rev. Lett.* 58, pp. 908-910, 1987.
- [3] H. Maeda, T. Tanaka, M. Fukutomi and T. Asano, *Jpn. J. Appl. Phys.*, Vol. 27, No. 2, pp. L209-L210, 1988.
- [4] Z. Z. Sheng and A. M. Hermann, *Nature*, Vol. 332, No. 6160, pp. 138-139, 1988.
- [5] S. N. Putilin, E. V. Antipov, O. Chmaissem and M. Marezio, *Nature*, Vol. 362, p. 226, 1993.
- [6] A. Sumiyama, T. Yoshitomi, H. Endo, J. Tsuchiya, N. Kijima, M. Mizuno and Y. Oguri, *Jpn. J. Appl. Phys.*, Vol. 27, No. 4, pp. L542-L544, 1988
- [7] U. Endo, S. Koyama and T. Kawai, *Phys.*, Vol. 27, No. 8, pp. L1476-L1479, 1988
- [8] E. Holguim, H. Berger, K. Schenk, L. Shaoping and F. Levy, *Solid State Commun.*, Vol. 72, No. 11, pp. 1087-1091, 1989
- [9] Y. P. Park, G. Y. Hwang and J. U. Lee, *J. of KIEEM*, Vol. 4, No. 3, pp. 201-210, 1991.